

Федеральное государственное автономное образовательное
учреждение высшего образования
«Национальный исследовательский университет
«Высшая школа экономики»
Факультет математики

На правах рукописи

Рафаэль Жан Сиома Феслер
Теория Гурвица в вещественном
случае и для систем корней типа В
и D

Резюме диссертации
на соискание учёной степени
кандидата математических наук

Научный руководитель:
д.мат.н., доцент
Бурман Юрий Михайлович

Москва – 2024.

1. КЛАССИЧЕСКИЕ ЧИСЛА ГУРВИЦА

Числа Гурвица впервые были введены в конце XIX века в работе А.Гурвица [16] и практически забыты в дальнейшем. Интерес к ним возродился лишь в конце 1990-х годов среди специалистов по математической физике, а также по теории групп и алгебраической геометрии.

Первоначально числа Гурвица определялись как число классов изоморфизма разветвленных накрытий сферы, где профиль одного из критических значений фиксирован, а остальные критические значения простые. В работе Гурвица показано, что эта задача алгебраической геометрии сводится, путем рассмотрения монодромии, к комбинаторной задаче подсчета числа наборов транспозиций, произведение которых принадлежит заданному классу сопряженности в группе перестановок. Тем самым числа Гурвица позволяют связать друг с другом две по-видимому далекие области математики.

В работе 2001 года [9] (T.Ekedahl, S.Lando, M.Shapiro, A.Vainshtein) доказана замечательная формула (называемая по именам авторов ELSV), связывающая числа Гурвица с другой областью математики — геометрией пространств модулей комплексных кривых. (А именно, числа Гурвица оказываются числами пересечений определенных классов когомологий на этих пространствах.) Тем самым числа Гурвица — по определению объект дискретный, комбинаторный — описывают структуру топологического происхождения. Еще одна топологическая реализация чисел Гурвица была обнаружена Ю.Бурманом и диссертантом в работе [2]; см. подробности в главе 1 диссертации.

Еще одна группа теорем, касающихся чисел Гурвица, была получена в течение последних тридцати лет при исследованиях, касающихся так называемой гипотезы Виттена [30]. Эта гипотеза (к настоящему моменту доказанная несколькими способами, см. [20], [19]) утверждает, что производящая функция чисел Гурвица удовлетворяет параболическому уравнению второго порядка, называемому уравнением cut-and-join и, следовательно, является тау-функцией интегрируемой иерархии КП. Комбинаторно смысл уравнения cut-and-join описывает поведение циклической структуры перестановки при умножении ее на транспозицию: либо два цикла перестановки склеиваются в один, либо один цикл делится на два [12]. Собственные функции оператора cut-and-join — многочлены Шура, что позволяет выразить через них числа Гурвица [19].

Ниже еще раз перечислены упомянутые свойства классических чисел Гурвица $h_{m,\lambda}$.

- Алгебраическое определение:
 $\#(\sigma_1, \dots, \sigma_m) \mid \forall i \sigma_i \in C_2 \text{ и } \sigma_1 \sigma_2 \dots \sigma_m \in C_\lambda$
- Алгебро-геометрическое определение:
 Количество классов изоморфизма разветвленных накрытий сферы, где m конечных критических значений простые, а критическое значение ∞ имеет профиль ветвления λ
- Геометрическое определение:
 Числа пересечений в когомологиях пространства модулей стабильных кривых (формула ELSV)
- Топологическое определение:

Число разложений поверхности на m неперекрытых ленточек и n дисков, где граница поверхности состоит из s компонент, содержащих $\lambda_1, \dots, \lambda_s$ вершин (концов диагоналей ленточек)

- Выражение через многочлены Шура производящей функции $H(\beta, p_1, p_2, \dots)$ (несвязных) чисел Гурвица:

$$H(\beta, p_1, p_2, \dots) = \sum_{\lambda} s_{\lambda}(1, 0, 0, \dots) s_{\lambda}(p_1, p_2, \dots) \exp \sum_{i=1}^{\infty} \lambda_i (\lambda_i - 2i + 1) \beta$$

- Решение дифференциального уравнения cut-and-join:

$$\frac{\partial H}{\partial \beta} = \frac{1}{2} \sum_{i,j=1}^{\infty} \left((i+j) p_i p_j \frac{\partial H}{\partial p_{i+j}} + ij p_{i+j} \frac{\partial^2 H}{\partial p_i \partial p_j} \right)$$

- Интегрируемая система:

$$H(\beta, p_1, p_2, \dots) - \text{tau-функция интегрируемой иерархии КП}$$

В настоящей работе мы изучаем новые типы чисел Гурвица: подкрученные (вещественные) и числа Гурвица для групп, порожденных отражениями, типов B and D . Ниже представлены основные результаты диссертации.

2. Вещественные (подкрученные) числа Гурвица

В главе 1 диссертации мы вводим новую топологическую модель для чисел Гурвица:

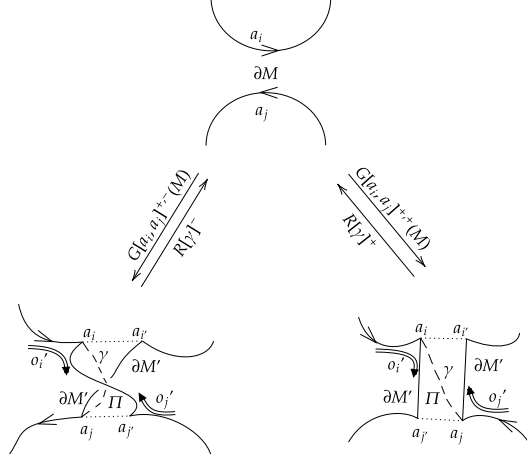
Definition. *Поверхностью с пометками на границе* (Decorated-boundary surface, DBS) называется тройка $(M, (a_1, \dots, a_n), (o_1, \dots, o_n))$, в которой M — компактная поверхность (двумерное многообразие) с краем, $a_1, \dots, a_n \in \partial M$ — отмеченные точки, а o_i — локальная ориентация границы ∂M (и, следовательно, самой поверхности M) в окрестности точки a_i . При этом предполагается, что

- каждая компонента связности поверхности M имеет непустую границу и
- каждая компонента связности границы ∂M содержит хотя бы одну отмеченную точку a_i .

Поверхности с пометками на границе M и M' с одним и тем же n называются эквивалентными, если существует гомеоморфизм $h : M \rightarrow M'$, для которого $h(a_i) = a'_i$ и $h_*(o_i) = o'_i$ для всех $i = 1, \dots, n$. Множество классов эквивалентности DBS с n отмеченными точками обозначает DBS_n .

Выберем отмеченные точки $a_i, a_j \in \partial M$, и пусть $\varepsilon_i, \varepsilon_j \in \{+, -\}$. Возьмем точки $a'_i, a'_j \in \partial M$, лежащие около a_i, a_j таким образом, чтобы дуга края $a_i a'_i$ была направлена согласно ориентации o_i , если $\varepsilon_i = +$, и против ориентации, если $\varepsilon_i = -$; то же самое для j . Возьмем теперь длинный узкий прямоугольник (“ленточку”) и приклеим ее короткие стороны к границе ∂M , как показано на рисунке 2. После приклеивания получится поверхность M' с краем $\partial M' \ni a_1, \dots, a_n$. Край M' около точек a_i и a_j содержит дугу края ∂M (“старая” часть края) и часть длинной стороны приклеенной ленточки (“новая” часть); определим локальные ориентации o'_i, o'_j края $\partial M'$ в окрестности точек a_i, a_j так, чтобы ориентация “старых” частей края осталась неизменной (см. жирные искривленные стрелки на рис. 2); если же $k \neq i, j$ то возьмем $o'_k = o_k$ по определению. Теперь $(M', (a_1, \dots, a_n), (o'_1, \dots, o'_n))$ — поверхность с пометками на крае, так что мы определили *отображение приклеивания ленточки* $G[i, j]^{\varepsilon_i, \varepsilon_j} : DBS_n \rightarrow DBS_n$. Приклеивание $G[i, j]^{\varepsilon_i, \varepsilon_j}$ называется приклеиванием с перекруткой, если $\varepsilon_i \neq \varepsilon_j$, иначе это приклеивание без перекрутки.

Обозначим $E_n \in DBS_n$ объединение n дисков, на границе каждого из которых стоит одна отмеченная точка, и пусть $M \in DBS_n$ получается из E_n



приклеиванием m ленточек:

$$M = G[i_m, j_m]^{\varepsilon_m, \delta'_m} \dots G[i_1, j_1]^{\varepsilon_1, \delta_1} E_n;$$

это называется *ленточным разложением*. Ленточное разложение называется ориентированным, если все знаки $\varepsilon_m = \delta_m = +$; в этом случае M — ориентированная поверхность с краем, и все локальные ориентации o_i порождаются глобальной ориентацией.

Зафиксируем натуральное число m и разбиение $(\lambda_1 \geq \dots \geq \lambda_s)$ числа $n \stackrel{\text{def}}{=} |\lambda| \stackrel{\text{def}}{=} \lambda_1 + \dots + \lambda_s$ на s частей. Обозначим $\mathfrak{S}_{m, \lambda}$ множество разложений на m ленточек и n дисков поверхностей, граница которых имеет s компонент связности, содержащих $\lambda_1, \dots, \lambda_s$ отмеченных точек (концов диагоналей ленточек).

Подкрученные числа Гурвица определяются как

Definition.

$$h_{m, \lambda}^{\sim} \stackrel{\text{def}}{=} \frac{1}{n!} \# \mathfrak{S}_{m, \lambda}$$

Если $\mathfrak{S}_{m, \lambda}^+$ — множество ориентированных ленточных разложений с теми же свойствами, то $\frac{1}{n!} \# \mathfrak{S}_{m, \lambda}^+$ равно классическому числу Гурвица (доказательство см. ниже в главе 1). Таким образом, определение 2 обобщает топологическое определение классических чисел Гурвица — ленточки разрешается перекручивать, и поэтому полученная поверхность, вообще говоря, неориентируема..

У комбинаторного определения чисел Гурвица имеется следующий “подкрученный” аналог. Рассмотрим инволюцию без неподвижных точек

$$\tau = (1, 1+n)(2, 2+n) \dots (n, 2n)$$

в группе перестановок S_{2n} . Пусть $\sigma_1, \dots, \sigma_m \in S_{2n}$ — транспозиции. Анализ показывает, что перестановка

$$(2.1) \quad u \stackrel{\text{def}}{=} \sigma_1 \dots \sigma_m \tau \sigma_m \dots \sigma_1 \tau \in S_{2n}$$

раскладывается в непересекающиеся циклы $u = c_1 c'_1 \dots c_s c'_s$, где $c'_i = \tau c_i^{-1} \tau$ для всех $i = 1, \dots, s$. Назовем пары (c_i, c'_i) τ -симметричными циклами. Пусть B_λ^\sim — множество перестановок, разложение которых в произведение непересекающихся циклов состоит из s пар τ -симметричных циклов длиной $\lambda_1, \dots, \lambda_s$. Обозначим

$$\mathfrak{H}_{m,\lambda} \stackrel{\text{def}}{=} \{(\sigma_1, \dots, \sigma_m) \mid \forall s = 1, \dots, m \sigma_s = (i_s j_s), j_s \neq \tau(i_s), \\ \sigma_1 \sigma_2 \dots \sigma_m (\tau \sigma_m \tau) \dots (\tau \sigma_1 \tau) \in B_\lambda^\sim\}.$$

Theorem (Глава 1, Theorem 2.4).

$$h_{m,\lambda}^\sim = \frac{1}{n!} \#\mathfrak{H}_{m,\lambda};$$

между множествами $\mathfrak{H}_{m,\lambda}$ и $\mathfrak{S}_{m,\lambda}$ существует явное взаимно однозначное соответствие.

Затем мы строим уравнение с частными производными второго порядка параболического типа, которому удовлетворяет производящая функция подкрученных чисел Гурвица. Оно похоже на уравнение cut-and-join, которому удовлетворяет производящая функция классических чисел Гурвица; оба уравнения — частные случаи уравнения Лапласа–Бельтрами. Собственные функции правой части уравнения — зональные многочлены, так что можно выразить через них подкрученные числа Гурвица. А именно, рассмотрим производящую функцию $\mathcal{H}^\sim(\beta, p)$ подкрученных чисел Гурвица, определенную формулой:

$$\mathcal{H}^\sim(\beta, p) = \sum_{m \geq 0} \sum_{\lambda} \frac{h_{m,\lambda}^\sim}{m!} p_{\lambda_1} p_{\lambda_2} \dots p_{\lambda_s} \beta^m.$$

Theorem (Глава 1, Theorem 2.12). \mathcal{H}^\sim удовлетворяет уравнению $\frac{\partial \mathcal{H}^\sim}{\partial \beta} = \mathcal{C} \mathcal{J}^\sim(\mathcal{H}^\sim)$, в котором

$$\begin{aligned} \mathcal{C} \mathcal{J}^\sim &= \sum_{i,j \geq 1} (i+j) p_i p_j \frac{\partial}{\partial p_{i+j}} + 2ij p_{i+j} \frac{\partial^2}{\partial p_i \partial p_j} + \sum_{k \geq 1} k(k-1) p_k \frac{\partial}{\partial p_k} \\ (2.2) \quad &= \sum_{i,j \geq 1} (i+j)(p_i p_j + p_{i+j}) \frac{\partial}{\partial p_{i+j}} + 2ij p_{i+j} \frac{\partial^2}{\partial p_i \partial p_j} \end{aligned}$$

Corollary. $\mathcal{H}^\sim(\beta, p) = \exp(\beta \mathcal{C} \mathcal{J}^\sim) \exp(p_1)$.

Выражение подкрученных чисел Гурвица через зональные многочлены выглядит так:

Theorem (Глава 1, Theorem 2.15).

$$\mathcal{H}^\sim(\beta, p) = \sum_{\lambda} \exp(2\beta \sum_i \lambda_i (\lambda_i - i)) \frac{2^{|\lambda|} Z_{\lambda}(p)}{H_{\lambda}(2) H'_{\lambda}(2)},$$

где $H_{\lambda}(\alpha) \stackrel{\text{def}}{=} \prod_{(i,j) \in Y(\lambda)} (\alpha a(i,j) + \ell(i,j) + 1)$ и $H'_{\lambda}(\alpha) \stackrel{\text{def}}{=} \prod_{(i,j) \in Y(\lambda)} (\alpha a(i,j) + \ell(i,j) + \alpha)$. Символом $Y(\lambda)$ обозначена диаграмма Юнга разбиения λ , а $a(i,j)$ и $\ell(i,j)$ — “рука” и “нога”, соответственно, клетки $(i,j) \in Y(\lambda)$; Z_{λ} — зональные многочлены.

Аналог алгебро-геометрического определения чисел Гурвица использует понятие подкрученного разветвленного накрытия, введенного в статье [7] (G. Charu, M. Dołęga). В главе 1 диссертации мы показываем, что производящая функция подкрученных чисел Гурвица удовлетворяет тому же самому уравнению с частными производными (уравнению Лапласа–Бельтрами с параметром 2) с теми же начальными условиями, что и производящая функция для подкрученных разветвленных накрытий.

Определение подкрученного разветвленного накрытия таково: пусть N — замкнутая поверхность (компактное двумерное многообразие без края, не обязательно ориентируемое), а $p : \widehat{N} \rightarrow N$ — его ориентирующее накрытие. Обозначим $\mathcal{T} : \widehat{N} \rightarrow \widehat{N}$ меняющую ориентацию инволюцию без неподвижных точек, для которой $p \circ \mathcal{T} = p$. Символом $\mathcal{J} : \mathbb{C}P^1 \rightarrow \mathbb{C}P^1$ обозначим комплексное сопряжение, и пусть $\overline{\mathbb{H}} \stackrel{\text{def}}{=} \mathbb{C}P^1 / (z \sim \mathcal{J}(z)) = \mathbb{H} \cup \{\infty\}$, где $\mathbb{H} \subset \mathbb{C}$ — верхняя полуплоскость; $\overline{\mathbb{H}}$ гомеоморфно диску. Также обозначим $\pi : \mathbb{C}P^1 \rightarrow \overline{\mathbb{H}}$ отображение факторизации.

Непрерывное отображение $f : N \rightarrow \overline{\mathbb{H}}$ называется подкрученным разветвленным накрытием, если существует разветвленное накрытие $\widehat{f} : \widehat{N} \rightarrow \mathbb{C}P^1$ такое, что

- (1) $\pi \circ \widehat{f} = f \circ p$, и
- (2) все критические значения отображения \widehat{f} вещественны.

Свойство (1) означает, что \widehat{f} — вещественное отображение по отношению к вещественной структуре \mathcal{T} , то есть $\widehat{f} \circ \mathcal{T} = \widehat{f}$. Инволюция \mathcal{T} не имеет неподвижных точек. Отсюда вытекает, что критические точки отображения \widehat{f} разбиваются на пары $(a, \mathcal{T}(a))$, в профиле ветвления каждого критического значения $c \in \mathbb{R}P^1 \subset \mathbb{C}P^1$ отображения \widehat{f} каждая часть повторяется дважды: $(\lambda_1, \lambda_1, \dots, \lambda_s, \lambda_s)$, а степень отображения $\deg \widehat{f} = 2n$ четная. В этом случае мы говорим, что профиль ветвления критического значения $\pi(c) \in \partial \overline{\mathbb{H}}$ отображения $f : N \rightarrow \overline{\mathbb{H}}$ равен $\lambda = (\lambda_1, \dots, \lambda_s)$.

Подкрученное разветвленное накрытие f называется простым, если все его критические значения, за возможным исключением $\infty \in \overline{\mathbb{H}}$, имеют профиль ветвления $2^1 1^{n-2}$. (Или, что то же самое, прообраз каждого конечного критического значения отображения \widehat{f} состоит из двух простых критических точек и $2n - 4$ некритических.) Обозначим $\#\mathcal{D}_{m,\lambda}$ множество классов изоморфизма простых подкрученных разветвленных накрытий, имеющих m конечных критических значений и таких, что критическое значение ∞ имеет профиль ветвления λ .

Тогда аналог алгебро-геометрического определения чисел Гурвица выглядит так:

Theorem (Глава 1, Theorem 3.2). $\#\mathcal{D}_{m,\lambda} = \#\mathcal{G}_{m,\lambda} = \#\mathcal{H}_{m,\lambda} = n!h_{m,\lambda}^\sim$.

3. Числа Гурвица для групп, порожденных отражениями, типов B и D

В главе 2 диссертации мы изучаем числа Гурвица для групп, порожденных отражениями, типов B и D .

Группа B_n имеет хорошо известное вложение (см. [15]) в группу перестановок S_{2n} в качестве нормализатора $\text{Norm}(\tau)$ элемента $\tau = (1, n+1)(2, n+$

2) $\dots (n, 2n)$ (см. главу 1 и раздел 2 Введения). Отражения в группе B_n при этом соответствуют перестановкам $r_{ij} = (ij)(\tau(i), \tau(j))$ и $\ell_i = (i, \tau(i))$, здесь $1 \leq i, j \leq 2n$. Группа D_n — пересечение B_n с подгруппой четных подстановок; она содержит только отражения r_{ij} .

Если $x \in \text{Norm}(\tau)$ имеет циклическое разложение $x = c_1 \dots c_k$, то для каждого цикла c_i , $i = 1, \dots, k$ верно одно из двух: либо существует другой цикл $c_j = \tau c_i \tau$ той же длины, либо c_i имеет четную длину и инвариантен относительно τ : $c_i = \tau c_i \tau$.

Зафиксируем два разбиения, $\lambda = (\lambda_1 \geq \dots \geq \lambda_s)$ и $\mu = (\mu_1 \geq \dots \geq \mu_t)$ такие, что $|\lambda| + |\mu| = n$, и рассмотрим множество $C_{\lambda|\mu}$ элементов $x \in B_n \subset S_{2n}$ таких, что их циклическое разложение содержит пары циклов c_i и $\tau c_i \tau$ длин (каждый из циклов) $\lambda_1, \dots, \lambda_s$, и τ -инвариантные циклы $c_i = \tau c_i \tau$ длин $2\mu_1, \dots, 2\mu_t$ (напомним, что длина такого цикла должна быть четной).

Theorem ([6, Proposition 25]). *Множество $C_{\lambda|\mu} \subset B_n$ — класс сопряженности. Каждый класс сопряженности в группе B_n есть $C_{\lambda|\mu}$ для некоторых λ и μ таких, что $|\lambda| + |\mu| = n$.*

Описание классов сопряженности группы D_n немного сложнее:

Theorem ([6, Proposition 25]).

- (1) *Если разбиение μ содержит четное число частей, то класс сопряженности $C_{\lambda|\mu} \subset B_n$ лежит в D_n ; если число частей нечетно, то $C_{\lambda|\mu}$ не пересекается с D_n .*
- (2) *Если $\mu \neq \emptyset$ (и содержит четное число частей), то $C_{\lambda|\mu}$ — класс сопряженности в группе D_n .*
- (3) *Если хотя бы одно из чисел λ_i нечетно, то $C_{\lambda|\emptyset}$ — класс сопряженности в группе D_n .*
- (4) *Если все числа λ_i четные, то множество $C_{\lambda|\emptyset}$ разбивается на два класса сопряженности, $C_{\lambda|\emptyset}^+$ и $C_{\lambda|\emptyset}^-$, в группе D_n .*

Каждый класс сопряженности в группе D_n совпадает с одним из перечисленных выше.

В частности, отражения r_{ij} образуют класс сопряженности $C_{2^{1^{n-2}}|\emptyset} \subset D_n \subset B_n$, а отражения ℓ_i — класс сопряженности $C_{1^{n-1}|1} \subset B_n$. Обозначим эти классы \mathcal{R} и \mathcal{L} соответственно.

Определение чисел Гурвица для групп B_n и D_n похоже на определение классических чисел Гурвица; вместо транспозиций используются отражения. Для групп серии B мы считаем отражения двух видов (транспозиции и пары транспозиций) по отдельности:

Definition. Говорят, что последовательность отражений $(\sigma_1, \dots, \sigma_{m+\ell})$ в группе B_n имеет профиль (λ, μ, m, ℓ) , если $\#\{p \mid \sigma_p \in \mathcal{R}\} = m$, $\#\{p \mid \sigma_p \in \mathcal{L}\} = \ell$ и $\sigma_1 \dots \sigma_{m+\ell} \in C_{\lambda|\mu}$.

Число Гурвица для группы B_n это

$$h_{m,\ell,\lambda,\mu}^B = \frac{1}{n!} \#\{(\sigma_1, \dots, \sigma_{m+\ell}) \text{ — последовательность с профилем } (\lambda, \mu, m, \ell)\}.$$

Definition. Пусть m — натуральное число, λ и μ — разбиения, и количество $\#\mu$ частей разбиения μ четно. Число Гурвица для группы D_n определяется равенством $h_{m,\lambda,\mu}^D = h_{m,0,\lambda,\mu}^B$.

Обозначим $\mathcal{C}_{\lambda|\mu} \stackrel{\text{def}}{=} \frac{1}{\#\mathcal{C}_{\lambda|\mu}} \sum_{x \in \mathcal{C}_{\lambda|\mu}} x \in \mathbb{C}[B_n]$ элемент групповой алгебры группы B_n — результат усреднения по классу сопряженности. Элементы $\mathcal{C}_{\lambda|\mu}$ принадлежат центру $Z[B_n]$ групповой алгебры и образуют в нем базис. Рассмотрим теперь кольцо многочленов $\mathbb{C}[p, q]$, где $p = (p_1, p_2, \dots)$ и $q = (q_1, q_2, \dots)$ — два бесконечных набора переменных. Это кольцо градуировано по общей степени, где предполагается, что степени переменных $\deg p_k = \deg q_k = k$ для всех $k = 1, 2, \dots$. Отображение, переводящее $\mathcal{C}_{\lambda|\mu}$ в моном $p_\lambda q_\mu \stackrel{\text{def}}{=} p_{\lambda_1} \dots p_{\lambda_s} q_{\mu_1} \dots q_{\mu_t}$ — изоморфизм между $Z[B_n]$ и однородной компонентой $\mathbb{C}[p, q]_n$ степени n .

В случае группы D_n ситуация похожая (см. подробности в работе [6]): результаты усреднения по классам сопряженностям $\mathcal{C}_{\lambda|\mu}$ (где $\mu \neq \emptyset$ и содержит четное число частей), а также результаты усреднения по классам $\mathcal{C}_{\lambda|\emptyset} \stackrel{\text{def}}{=} \frac{1}{\#\mathcal{C}_{\lambda|\emptyset}} \sum_{x \in \mathcal{C}_{\lambda|\emptyset}^+ \cup \mathcal{C}_{\lambda|\emptyset}^-} x \in \mathbb{C}[D_n]$ образуют базис в пространстве $V_n^+ \subset Z[D_n]$, изоморфном подпространству $Q_n \subset \mathbb{C}[p, q]_n$ многочленов четной степени по переменным q . При нечетном n имеет место равенство $Z[D_n] = V_n^+$, а при четном n $Z[D_n] = V_n^+ \oplus V_n^-$, где подпространство V_n^- порождено $\mathcal{B}_\lambda \stackrel{\text{def}}{=} \frac{1}{\#\mathcal{C}_{\lambda|\emptyset}} \left(\sum_{x \in \mathcal{C}_{\lambda|\emptyset}^+} x - \sum_{x \in \mathcal{C}_{\lambda|\emptyset}^-} x \right)$. Отображение, переводящее \mathcal{B}_λ to $p_{\lambda_1/2} \dots p_{\lambda_s/2}$ (напомним, что все части λ_i разбиения λ должны быть четными) — изоморфизм между V_n^- и $\mathbb{C}[p]_{n/2}$.

Рассмотрим следующую производящую функцию чисел Гурвица группы B_n :

$$\mathcal{H}^B(\beta, \gamma, p, q) = \sum_{m, \ell} \sum_{\lambda, \mu} \frac{h_{m, \ell, \lambda, \mu}^B}{m! \ell!} p_\lambda q_\mu \beta^m \gamma^\ell.$$

Функция \mathcal{H}^B является решением уравнений *cut-and-join*

$$\frac{\partial \mathcal{H}^B}{\partial \beta} = \mathcal{C}\mathcal{J}_1(\mathcal{H}^B) \quad \text{and} \quad \frac{\partial \mathcal{H}^B}{\partial \gamma} = \mathcal{C}\mathcal{J}_2(\mathcal{H}^B),$$

в которых

$$\begin{aligned} \mathcal{C}\mathcal{J}_1 = \sum_{i, j=1}^{\infty} & \left((i+j)p_i q_j \frac{\partial}{\partial q_{i+j}} + 2ijq_{i+j} \frac{\partial^2}{\partial p_i \partial q_j} + ij p_{i+j} \frac{\partial^2}{\partial q_i \partial q_j} \right. \\ & \left. + \frac{1}{2}(i+j)q_i q_j \frac{\partial}{\partial p_{i+j}} + \frac{1}{2}(i+j)p_i p_j \frac{\partial}{\partial p_{i+j}} + ij p_{i+j} \frac{\partial^2}{\partial p_i \partial p_j} \right) \end{aligned}$$

и

$$\mathcal{C}\mathcal{J}_2 = \sum_{i=1}^{\infty} \left(ip_i \frac{\partial}{\partial q_i} + iq_i \frac{\partial}{\partial p_i} \right)$$

Corollary.

$$\mathcal{H}^B(\beta, \gamma, p, q) = e^{\beta \mathcal{C}\mathcal{J}_1 + \gamma \mathcal{C}\mathcal{J}_2} e^{p^1}$$

Пусть теперь

$$(3.1) \quad \mathcal{C}\mathcal{J} \stackrel{\text{def}}{=} \sum_{i, j=1}^{\infty} \left(ij p_{i+j} \frac{\partial^2}{\partial p_i \partial p_j} + (i+j)p_i p_j \frac{\partial}{\partial p_{i+j}} \right)$$

и

$$(3.2) \quad E \stackrel{\text{def}}{=} \sum_{i=1}^{\infty} ip_i \frac{\partial}{\partial p_i},$$

(эйлерово векторное поле). Заменяем переменные:

Proposition (Глава 2, Proposition 3.1). Пусть $u_\ell = \frac{p_\ell + q_\ell}{2}$ и $v_\ell = \frac{p_\ell - q_\ell}{2}$. Тогда

$$\begin{aligned} \mathcal{C}\mathcal{J}_1 &= \sum_{i,j=1}^{\infty} \left(ij u_{i+j} \frac{\partial^2}{\partial u_i \partial u_j} + (i+j) u_i u_j \frac{\partial}{\partial u_{i+j}} + ij v_{i+j} \frac{\partial^2}{\partial v_i \partial v_j} \right. \\ &\quad \left. + (i+j) v_i v_j \frac{\partial}{\partial v_{i+j}} \right) = \mathcal{C}\mathcal{J}_u^\sim + \mathcal{C}\mathcal{J}_v^\sim, \\ \mathcal{C}\mathcal{J}_2 &= \sum_{\ell=1}^{\infty} \ell \left(u_\ell \frac{\partial}{\partial u_\ell} - v_\ell \frac{\partial}{\partial v_\ell} \right) = E_u - E_v, \end{aligned}$$

где символами $\mathcal{C}\mathcal{J}_u$ и $\mathcal{C}\mathcal{J}_v$ мы обозначим оператор (3.1), действующий в переменных u_i и v_i соответственно; аналогично E_u и E_v .

В результате получается

Corollary (Глава 2, corollary 3.3).

$$\begin{aligned} \mathcal{H}^B(\beta, \gamma, p_1, p_2, \dots, q_1, q_2, \dots) &= \sum_{\lambda, \mu} \exp\left(\beta \sum_{i=1}^{\infty} (\lambda_i(\lambda_i - 2i + 1) + \mu_i(\mu_i - 2i + 1)) + \gamma \sum_{i=1}^{\infty} (\lambda_i - \mu_i)\right) \\ &\quad \times s_\lambda(1, 0, 0, \dots) s_\mu(1, 0, 0, \dots) s_\lambda((p_1 + q_1)/2, \dots) s_\mu((p_1 - q_1)/2, \dots) \end{aligned}$$

Аналогичные результаты для группы D_n :

Theorem (Глава 2, Theorem 4.1). Оператор $\mathcal{C}\mathcal{J}_1^D$ — ограничение оператора $\mathcal{C}\mathcal{J}_1^B$ на подпространство $Q_n \subset \mathbb{C}[p, q]_n$ многочленов четной степени по переменным q . Замена переменных $p_i \mapsto p_i/2$ превращает оператор $\mathcal{C}\mathcal{J}_2^D$ (определенный только для четных n) в умноженный на 4 оператор cut-and-join (3.1), где $n \mapsto n/2$.

Поскольку оператор $\mathcal{C}\mathcal{J}_2$ — эйлерово векторное поле, мы можем свести вычисление чисел Гурвица к случаю $\ell = 0$. Существует также явная формула, выражающая B -числа Гурвица $h_{m,0,\lambda,\mu}^B$ через классические числа Гурвица $h_{m,\lambda}$. А именно, для последовательности натуральных чисел c_1, \dots, c_n обозначим символом $\xi(c)$ разбиение $1^{c_1} \dots n^{c_n}$; так $|\xi(c)| = c_1 + 2c_2 + \dots + nc_n$. Также для натуральных чисел p, q, r обозначим f_{pq}^r коэффициент при мономе x^r в многочлене $(1+x)^p(1-x)^q$.

Пусть $\lambda \stackrel{\text{def}}{=} \xi(\gamma)$ и $\mu \stackrel{\text{def}}{=} \xi(\delta)$. Тогда

$$h_{m,0,\lambda,\mu}^B = \sum_{\substack{\alpha_i + \beta_i = \gamma_i + \delta_i \forall i \\ m_1 + m_2 = m}} \frac{h_{m_1, \xi(\alpha)} h_{m_2, \xi(\beta)}}{2^{\#\lambda + \#\mu}} \binom{m}{m_1} \binom{|\lambda| + |\mu|}{|\xi(\alpha)|} f_{\alpha_1 \beta_1}^{\gamma_1} f_{\alpha_2 \beta_2}^{\gamma_2} \dots$$

Theorem 3.1 (Глава 2, Theorem 5.10). Производящая функция $\mathcal{H}^B(\beta, \gamma, u + v, u - v)$ — дупараметрическое семейство τ -функций иерархии КП, независимо по переменным u и по переменным v .

Также:

Corollary (Глава 2, Corollary 5.11). Производящая функция $\mathcal{H}^D(\beta, u + v, u - v)$ — однопараметрическое семейство τ -функций иерархии КП, независимо по переменным u и по переменным v .

Аналог топологического определения чисел Гурвица для групп, порожденных отражениями, типа B состоит из ориентированного DBS (см. определение выше) M и сохраняющей ориентацию инволюции τ , относительно которой инвариантно ленточное разложение. Такая DBS получается приклеиванием $2m+\ell$ неперекрученных ленточек к $2n$ дискам; ее граница состоит из $2s+k$ компонент, содержащих $\lambda_1, \lambda_1, \dots, \lambda_s, \lambda_s, 2\mu_1, \dots, 2\mu_k$ вершин. Из них ℓ ленточек инвариантны относительно инволюции; на каждой из них есть ровно одна неподвижная точка. Остальные ленточки образуют m пар; инволюция меняет членов каждой пары местами. Набор (λ, μ, m, ℓ) называется профилем B -ленточного разложения.

Theorem 3.2 (Глава 2, Theorem 5.2). *B -ленточные разложения поверхностей с пометками на границе с профилем (λ, μ, m, ℓ) находятся во взаимно однозначном соответствии с последовательностями отражений с тем же профилем.*

4. ЧИСЛА ГУРВИЦА И РАЗВЕТВЛЕННЫЕ НАКРЫТИЯ

В главе 3 диссертации мы строим явное соответствие между подкрученными разветвленными накрытиями и объектами из комбинаторного определения подкрученных чисел Гурвица.

Пусть, как и выше, $\lambda = (\lambda_1 \geq \dots \geq \lambda_s)$ — разбиение числа $n \stackrel{\text{def}}{=} |\lambda| \stackrel{\text{def}}{=} \lambda_1 + \dots + \lambda_s$, и $m > 0$ — целое число. Обозначим $\mathcal{H}_{m,\lambda}$ главный страт стандартного пространства Гурвица: его элементами являются классы эквивалентности пар (M, f) , где M — компактная гладкая комплексная кривая, а $f : M \rightarrow \mathbb{C}P^1$ — мероморфная функция, имеющая s полюсов u_1, \dots, u_s кратностей $\lambda_1, \dots, \lambda_s$ и m простых критических точек.

Используя терминологию работы [7], назовем вещественную мероморфную функцию *простой*, если все ее критические точки u_i , за возможным исключением полюсов, простые, и находятся в общем положении, то есть $f(u_i) \neq f(u_j)$, кроме случаев, когда $u_j = u_i$ или $u_j = \mathcal{T}(u_i)$. Простая вещественная мероморфная функция называется *вполне вещественной*, если все ее критические значения вещественны.

Заметим, что полюса, как правило, не предполагаются простыми. Инволюция \mathcal{T} не имеет неподвижных точек, так что в профиле ветвления \hat{f} над точкой ∞ каждая часть повторяется дважды: $(\lambda_1, \lambda_1, \dots, \lambda_s, \lambda_s)$, и $\deg \hat{f} = 2n$ — четное число. Скажем, что профилем простой подкрученной вещественной функции, описанной выше, является разбиение $\lambda = (\lambda_1, \dots, \lambda_s)$; также будем условно писать $\deg f = n$.

Обозначим $\mathbb{R}\mathcal{H}_{m,\lambda}$ множество простых вещественных мероморфных функций с профилем λ и $2m$ вещественных критических точек $u_1, \mathcal{T}(u_1), \dots, u_m, \mathcal{T}(u_m)$, с точностью до эквивалентности (так же, как в классическом пространстве Гурвица, см. [25]). Подмножество, состоящее из вполне вещественных функций, обозначим $\mathfrak{RH}_{m,\lambda} \subset \mathbb{R}\mathcal{H}_{m,\lambda}$. Критические значения функции $F \in \mathfrak{RH}_{m,\lambda}$ мы обычно обозначаем $y_0 < \dots < y_m \in \mathbb{R}$ (каждое из этих значений принимается в двух критических точках). Для $\hat{f} \in \mathfrak{RH}_{m,\lambda}$ пусть $u \in \mathbb{R} \subset \mathbb{C}P^1$ — регулярное (некритическое) значение, для которого $u < y_0$; прообраз $\hat{f}^{-1}(u) \subset \hat{N}$ состоит из $2n$ точек, а прообраз $f^{-1}(\pi(u)) \subset N$ состоит из n точек. Зафиксируем биекцию $\hat{\nu} : \hat{f}^{-1}(\hat{u}) \rightarrow \mathcal{A}_n$ такую, что если $\hat{\nu}(x) = k$, то $\hat{\nu}(\mathcal{T}(x)) = \bar{k}$ для всех

$k = 1, \dots, n$. Простое вполне вещественное разветвленное накрытие, в котором зафиксированы точка u и биекция $\hat{\nu}$, называется помеченным. Множество помеченных вполне вещественных простых разветвленных накрытий (\hat{f}, ν) , где $\hat{f} \in \mathfrak{RH}_{m,\lambda}$, выше было обозначено $\mathfrak{D}_{m,\lambda}$.

Рассмотрим паросочетания на множестве $\mathcal{A}_n = (1, \bar{1}, \dots, n, \bar{n})$; их можно отождествить с инволюциями без неподвижных точек в группе перестановок S_{2n} .

Для двух таких инволюций δ_1 и δ_2 пусть $\sigma \stackrel{\text{def}}{=} \delta_1 \delta_2 \in S_{2n}$. Поскольку $\delta_1 \sigma \delta_1 = \delta_2 \delta_1 = \sigma^{-1}$, разложение перестановки σ на независимые циклы выглядит как $c_1 c'_1 \dots c_s c'_s$, где $c'_k \stackrel{\text{def}}{=} \delta_1 c_k^{-1} \delta_1$; так что c_k и c'_k имеют одну и ту же длину. Обозначим λ_i длину c_i , а разбиение $(\lambda_1, \dots, \lambda_s)$ обозначим $\Lambda(\delta_1, \delta_2)$; при этом $|\Lambda(\delta_1, \delta_2)| = \lambda_1 + \dots + \lambda_s = n$. Парочетанию δ можно сопоставить граф $\Gamma(\delta)$, множество вершин которого — \mathcal{A}_n , и две вершины p и q соединены ребром (неориентированным), если $\delta(p) = q$. Объединение ребер графов $\Gamma(\delta_1)$ и $\Gamma(\delta_2)$ представляет собой объединение циклов длиной $2\lambda_1, \dots, 2\lambda_s$.

Обозначим $\mathfrak{P}_{m,\lambda}$ множество последовательностей паросочетаний $\delta_{-1}, \dots, \delta_{m-1}$, удовлетворяющих условиям

$$(4.1) \quad \Lambda(\delta_k, \delta_{k+1}) = 2^1 1^{n-2} \quad \text{for all } k = -1, \dots, m-2$$

$$(4.2) \quad \delta_{-1} = (1, \bar{1}) \dots (n, \bar{n})$$

$$(4.3) \quad \Lambda(\delta_{-1}, \delta_{m-1}) = \lambda$$

В работе [1] было построено явное взаимно однозначное соответствие Δ между множествами $\mathfrak{P}_{m,\lambda}$ и $\mathfrak{D}_{m,\lambda}$.

Рассмотрим последовательность транспозиций $((i_1, j_1), \dots, (i_m, j_m)) \in \mathfrak{H}_{m,\lambda}^{\mathbb{R}}$ и произведения $x_k = (i_1, j_1) \dots (i_k, j_k)$ для всех $k = 1 \dots m$. Пусть $\delta_k = (\tau x_{k+1}) \tau (x_{k+1})^{-1}$ для $k = 0, \dots, m-1$, и $\delta_{-1} \stackrel{\text{def}}{=} \tau$.

Теорема А. (Глава 3, Theorem 2.2) *Отображение $\mathcal{P}((i_1, j_1), \dots, (i_m, j_m)) \stackrel{\text{def}}{=} (\tau, \delta_0, \dots, \delta_{m-1})$ является соответствием $2^m : 1$ между множествами $\mathfrak{H}_{m,\lambda}^{\mathbb{R}}$ и $\mathfrak{P}_{m,\lambda}$. Композиция $\mathcal{P}((i_1, j_1), \dots, (i_m, j_m))$ и Δ дает соответствие $2^m : 1$ между $\mathfrak{H}_{m,\lambda}^{\mathbb{R}}$ и $\mathfrak{D}_{m,\lambda}$*

Обозначим $\mathbb{R}\mathcal{H}_{m,\lambda}^{\text{num}}$ множество наборов (M, \mathcal{T}, f, ν) , с точностью до эквивалентности, для которых

- $(M, \mathcal{T}, f) \in \mathbb{R}\mathcal{H}_{m,\lambda}$,
- ν — биекция между множеством критических точек функции f и множеством $\{1, \dots, 2m\}$ такая, что $\nu(\mathcal{T}(u_i)) = 2m + 1 - \nu(u_i)$,
- Если $1 \leq \nu(a) < \nu(b) \leq m$, то $\text{Re}(f(a)) < \text{Re}(f(b))$.

Наконец, рассмотрим отображение $\mathcal{LL} : \mathcal{H}_{m,\lambda} \rightarrow \mathbb{C}^{(m)}$, называемое *отображением Ляшко–Лоойенги (ЛЛ)*, переводящее точку (M, f) пространства $\mathcal{H}_{m,\lambda}^{\text{num}}$ в множество точек $(y_1, \dots, y_m) \in \mathbb{C}P^1$ — критических значений f . Вот важный результат о локальной структуре отображения ЛЛ:

Теорема В. (Глава 3, Theorem 3.8) *Локальная кратность отображения Ляшко–Лоойенги в окрестности точки $F \in \mathfrak{RH}_{m,\lambda}$ равна 2^m .*

Затем мы доказываем, что соответствие теоремы А и теоремы В на самом деле взаимно обратны, с точностью до множителя 2^m . Вначале, рассмотрев монодромию, мы показываем, что

Теорема С. (Глава 3, Theorem 4.1) *Отображение $(F, \nu) \mapsto (\delta_{-1} \stackrel{\text{def}}{=} \tau, \delta_0, \dots, \delta_{m-1})$ — взаимно однозначное соответствие между $\mathfrak{D}_{m,\lambda}$ и $\mathfrak{H}_{m,\lambda}^{\mathbb{R}}$.*

Используя эту теорему мы получаем окончательный результат:

Theorem (Глава 3, Theorem 4.3). *Соответствия между $\mathfrak{D}_{m,\lambda}$ и $\mathfrak{H}_{m,\lambda}^{\mathbb{R}}$, полученные в теореме С и в теореме А, взаимно обратны.*

Опишем кратко гипотетическое алгебро-геометрическое определение чисел Гурвица для групп, порожденных отражениями, типов B и D . Пусть $\lambda = (\lambda_1 \geq \dots \geq \lambda_s)$ и $\mu = (\mu_1 \geq \dots \geq \mu_t)$ — два разбиения такие, что $|\lambda| + |\mu| = n$. Рассмотрим голоморфные отображения $H \xrightarrow{p} G \xrightarrow{f} \mathbb{C}P^1$, где

- G и H — комплексные кривые;
- f — голоморфное отображение степени n с m простыми критическими точками и критическим значением $\infty \in \mathbb{C}P^1$, описанным ниже;
- p — голоморфное отображение степени 2 с ℓ простыми критическими точками;
- Прообраз $f^{-1}(\infty) = \{x_1, \dots, x_s, q_1, \dots, q_t\}$, где кратность точки x_i равна λ_i , $i = 1, \dots, s$, а кратность точки q_i равна μ_i , $i = 1, \dots, t$. Кроме того, предполагается, что x_1, \dots, x_s — регулярные значения отображения p , а q_1, \dots, q_t — критические значения.

Поскольку степень отображения p равна 2, кривая H — гиперэллиптическая, и на ней имеется гиперэллиптическая инволюция $\mathcal{T} : H \mapsto H$, для которой $p \circ \mathcal{T} = p$ (она меняет местами два прообраза любой точки $x \in G$); критические точки отображения p — неподвижные точки \mathcal{T} .

Назовем диаграмму $H \xrightarrow{p} G \xrightarrow{f} \mathbb{C}P^1$, описанную выше, B -разветвленным накрытием с профилем (λ, μ, m, ℓ) . D -разветвленное накрытие это B -разветвленное накрытие с профилем $(\lambda, \mu, m, 0)$, так что инволюция \mathcal{T} не имеет неподвижных точек.

Два B - (или D -) разветвленных накрытия F и F' называются эквивалентными, если существует пара биголоморфных отображений ϕ_1 и ϕ_2 так, что приведенная ниже диаграмма коммутативна:

$$\begin{array}{ccccc} H & \xrightarrow{p} & G & \xrightarrow{f} & \mathbb{C}P^1 \\ \phi_1 \downarrow & & \phi_2 \downarrow & & id \downarrow \\ H' & \xrightarrow{p'} & G' & \xrightarrow{f'} & \mathbb{C}P^1 \end{array}$$

Conjecture. Пусть λ и μ — разбиения, для которых $|\lambda| + |\mu| = n$. Существует взаимно однозначное соответствие между классами эквивалентности B -разветвленных накрытий с профилем (λ, μ, m, ℓ) и B -ленточными разложениями с тем же профилем.

Corollary. Пусть λ и μ — те же разбиения. Существует взаимно однозначное соответствие между классами эквивалентности B -разветвленных

накрытий с профилем $(\lambda, \mu, t, 0)$ и D -ленточными разложениями с тем же профилем.

Обзор результатов. Перечислим еще раз результаты и открытые вопросы в двух следующих таблицах:

Вещественные числа Гурвица $h_{m,\lambda}^\sim$:

- Алгебраическое определение:
 $\#(\sigma_1 \dots, \sigma_m) \mid \sigma_i \in C_2 \text{ и } \sigma_1 \sigma_2 \dots \sigma_m \tau \sigma_m \dots \sigma_1 \tau \in B_\lambda^\sim$
- Алгебро-геометрическое определение:
 Количество классов изоморфизма вещественных разветвленных накрытий сферы с m вещественными простыми критическими значениями (профиль ветвления $[2^2, 1^{2n-4}]$) а критическое значение ∞ имеет профиль (λ, λ)
- Геометрическое определение:
 Нерешенный вопрос
- Топологическое определение:
 Число разложений поверхности на m неперекрученных ленточек (возможно, перекрученных) и n дисков, где граница поверхности состоит из s компонент, содержащих $\lambda_1, \dots, \lambda_s$ вершин (концов диагоналей ленточек)
- Выражение производящей функции $\mathcal{H}^\sim(\beta, p_1, p_2, \dots)$ несвязных вещественных чисел Гурвица через зональные многочлены Z_λ :

$$\mathcal{H}^\sim(\beta, p_1, p_2, \dots) = \sum_\lambda \exp(2\beta \sum_i \lambda_i(\lambda_i - i)) \frac{2^{|\lambda|} Z_\lambda(p)}{H_\lambda(2) H_\lambda'(2)}$$
- Дифференциальное уравнение Бельтрами-Лапласа: :

$$\frac{\partial \mathcal{H}^\sim}{\partial \beta} = \sum_{i,j \geq 1} (i+j)(p_i p_j + p_{i+j}) \frac{\partial \mathcal{H}^\sim}{\partial p_{i+j}} + 2ij p_{i+j} \frac{\partial^2 \mathcal{H}^\sim}{\partial p_i \partial p_j}$$
- Интегрируемая система:
 Открытый вопрос

Числа Гурвица для группы, порожденной отражениями, типа B : $h_{(\lambda,\mu,m,\ell)}^B$:

- Алгебраическое определение:
 $\#(\sigma_1 \dots, \sigma_{m+\ell}) \mid \#\{p \mid \sigma_p = r_{ij}, 1 \leq i < j \leq 2n\} = m, \#\{p \mid \sigma_p = l_i, 1 \leq i \leq 2n\} = \ell, \sigma_1 \dots \sigma_{m+\ell} \in C_{\lambda|\mu}$
- Алгебро-геометрическое определение (Гипотеза):
 Число классов изоморфизма диаграмм разветвленных накрытий $F : H \xrightarrow{p} G \xrightarrow{f} \mathbb{C}P^1$, где G и H — комплексные кривые, f — мероморфная функция степени n с m простыми критическими точками, p — голоморфное отображение степени 2 с ℓ простыми критическими точками; критическое значение ∞ функции F имеет профиль ветвления $(\lambda, \lambda, 2\mu)$
- Геометрическое определение:
 Нерешенный вопрос
- Топологическое определение:
 Множество разложений поверхностей на $2m + \ell$ неперекрученных ленточек и $2n$ дисков, граница поверхности состоит из $2s + k$ компонент, содержащих $\lambda_1, \lambda_1, \dots, \lambda_s, \lambda_s, 2\mu_1, \dots, 2\mu_k$ отмеченных точек, на поверхности имеется сохраняющая ориентацию инволюция, относительно которой ℓ ленточек инвариантны; в каждой из них имеется неподвижная точка.

- Выражение производящих функций $\mathcal{H}^B(\beta, \gamma, p_1, p_2, \dots)$ несвязных B -чисел Гурвица через многочлены Шура s_λ :

$$\mathcal{H}^B(\beta, \gamma, p_1, p_2, \dots, q_1, q_2, \dots) = \sum_{\lambda, \mu} \exp(\beta \sum_{i=1}^{\infty} (\lambda_i(\lambda_i - 2i + 1) + \mu_i(\mu_i - 2i + 1) + \gamma \sum_{i=1}^{\infty} (\lambda_i - \mu_i))) \times s_\lambda(1, 0, 0, \dots) s_\mu(1, 0, 0, \dots) s_\lambda((p_1 + q_1)/2, \dots) s_\mu((p_1 - q_1)/2, \dots)$$
- Дифференциальное уравнение Два уравнения cut-and-join:

$$\frac{\partial \mathcal{H}^B}{\partial \beta} = \sum_{i,j=1}^{\infty} \left((i+j)p_i q_j \frac{\partial}{\partial q_{i+j}} + 2ijq_{i+j} \frac{\partial^2}{\partial p_i \partial q_j} + ij p_{i+j} \frac{\partial^2}{\partial q_i \partial q_j} + \frac{1}{2}(i+j)q_i q_j \frac{\partial}{\partial p_{i+j}} + \frac{1}{2}(i+j) \right) \mathcal{H}^B$$

$$\frac{\partial \mathcal{H}^B}{\partial \gamma} = \sum_{i=1}^{\infty} \left(ip_i \frac{\partial}{\partial q_i} + iq_i \frac{\partial}{\partial p_i} \right) \mathcal{H}^B$$
- Интегрируемая система:
 Производящая функция $\mathcal{H}^B(\beta, \gamma, u + v, u - v)$ — дупараметрическое семейство τ -функций иерархии КП

ДОПОЛНЕНИЕ

Во время написания данной работы появился препринт Д. Городкова, М. Карева и мой [11], в которой доказана высказанная выше гипотеза и дано геометрическое определение чисел Гурвица для групп, порожденных отражениями, типа B . А именно, там сделано следующее:

Известно, что обычные числа Гурвица задаются формулой ELSV [9]: для всех $g \geq 0$, $k_1, \dots, k_n \in \mathbb{N}$ имеет место равенство

$$h_{g;k_1, \dots, k_n} = (2g - 2 + n + \sum_{i=1}^n k_i)! \prod_{i=1}^n \frac{k_i^{k_i}}{k_i!} \int_{\mathcal{M}_{g,n}} \frac{\Lambda_{g,n}}{(1 - k_1 \psi_1) \cdots (1 - k_n \psi_n)},$$

где $\bar{\mathcal{M}}_{g,n}$ — компактификация Делиня–Мамфорда пространства модулей кривых рода g с n отмеченными точками, $\Lambda_{g,n}$ — полный класс Черна расслоения, двойственного к расслоению Ходжа, а ψ_i — соответствующие ψ -классы. В работе [11] доказано следующее утверждение:

Theorem. *Логарифм производящей функции \mathcal{H}^B (зависящий от переменных u и v) равен*

$$\begin{aligned} \log \mathcal{H}^B &= \sum_{\substack{g \geq 0, n \geq 1 \\ k_1, \dots, k_n \in \mathbb{N}}} \frac{(2\beta)^{2g-2+n+\sum_{i=1}^n k_n} e^{\sum_{i=1}^n k_n \gamma}}{n!} \\ &\times \prod_{i=1}^n \frac{k_i^{k_i}}{k_i!} \int_{\mathcal{M}_{g,n}} \frac{\Lambda_{g,n}}{(1 - k_1 \psi_1) \cdots (1 - k_n \psi_n)} u_{k_1} \cdots u_{k_n} + \sum_{\substack{g \geq 0, n \geq 1 \\ k_1, \dots, k_n \in \mathbb{N}}} \frac{(2\beta)^{2g-2+n+\sum_{i=1}^n k_n} e^{\sum_{i=1}^n -\gamma k_n}}{n!} \\ &\times \prod_{i=1}^n \frac{k_i^{k_i}}{k_i!} \int_{\bar{\mathcal{M}}_{g,n}} \frac{\Lambda_{g,n}}{(1 - k_1 \psi_1) \cdots (1 - k_n \psi_n)} v_{k_1} \cdots v_{k_n}. \end{aligned}$$

Публикации, содержащие основные результаты диссертации:

- R.Fesler Hurwitz numbers for reflection groups B and D , *Mathematical Notes* vol.114:5-6.
- Y. Burman, R. Fesler, Ribbon decomposition and twisted Hurwitz numbers, *Mathematics Research Reports, Volume 5 (2024) p. 1-19*

СПИСОК ЛИТЕРАТУРЫ

- [1] H. Ben Dali, Generating Series of non-oriented constellations and marginal sums in the Matching-Jack conjecture, *Algebraic Combinatorics*, 5 (6), pp. 1299-1336, 2022
- [2] Y. Burman, R. Fesler, Ribbon decomposition and twisted Hurwitz numbers to appear in *Mathematics Research Reports*
- [3] Y. Burman, R. Fesler, Real algebraic curves and twisted Hurwitz numbers *ArXiv: 2403.06171 [math.AG]*
- [4] Y. Burman, B. Shapiro, On Hurwitz–Severi numbers *Annali della Scuola Normale Superiore di Pisa, Classe di Scienze* Vol XIX (2019) No. 1. P. 155-167.
- [5] Yu. Burman, D. Zvonkine, Cycle factorization and 1-faced graph embeddings, *Eurepean Journal of Combinatorics*, Vol. 31, no. 1 (2010), pp. 129–144.
- [6] R.W.Carter, Conjugacy classes in the weyl group, *Compositio Mathematica*, tome 25 (1972), no. 1 , pp. 1–59.
- [7] G. Chapuy, M. Dolega, Non-orientable branched coverings, b-Hurwitz numbers, and positivity for multiparametric Jack expansions, *Advances in Mathematics*, 409 (2022), 108645.
- [8] J. E. Humphreys, Reflection Groups and Coxeter Groups. *Cambridge Studies in Advanced Mathematics*, 29, Cambridge University Press, 1992
- [9] Ekedahl, T. and Lando, S. and Shapiro, M. and Vainshtein, A., Hurwitz numbers and intersections on moduli spaces of curves. *Inventiones mathematicae* 146 (2001), 297–327
- [10] R.Fesler Hurwitz numbers for reflection groups B and D , *Mathematical Notes* vol.114:5-6.
- [11] R.Fesler, D. Gorodkov, M.Karev Hurwitz numbers for complex reflection groups $G(m, 1, n)$, *ArXiv: 2403.01963 [math.CO]*.
- [12] I. P. Goulden, D. M. Jackson, *Transitive factorisation into transpositions and holomorphic mappings on the sphere*, Proc. Amer. Math. Soc.,125, no. 1, 51–60 (1997)
- [13] IP. Goulden, M. Guay-Paquet, J. Novak . Monotone Hurwitz Numbers in Genus Zero. *Canadian Journal of Mathematics*. 2013;65(5):1020-1042.
- [14] I. Goulden, A. Yong, Tree-like properties of cycle factorizations, *Journal of Combinatorial Theory Series A*, Vol. 98, no. 1 (2002), pp. 106–117.
- [15] J. E. Humphreys. *Reflection groups and Coxeter groups*. Cambridge University Press, First edition, 1990.
- [16] A. Hurwitz, Ueber Riemann’sche Flächen mit gegebenen Verzweigungspunkten, In: *Math. Ann.* 39.1 (1891), pp. 1–60
- [17] P. Johnson. Double Hurwitz numbers via the infinite wedge, *TAMS*, 367 (2015), no. 9 , pp. 6415–6440.
- [18] M. Kazarian. KP hierarchy for Hodge integrals, *Adv. Math.*, 221.1 (2009), pp. 1–21.
- [19] M. E. Kazarian and S. K. Lando, An algebro-geometric proof of Witten’s conjecture. *J. Amer. Math. Soc.* 20 (2007), 1079-1089, March 2007
- [20] M. Kontsevich, Intersection theory on the moduli space of curves and the Airy function, *Comm. Math. Phys.*, 147, 1–23 (1992)
- [21] R. Kramer. KP hierarchy for Hurwitz-type cohomological field theories, Max-Planck-Institut für Mathematik Preprint Series 2021 (42a), 9.10.2021.
- [22] S. K. Lando, A. K. Zvonkin, *Graphs on Surfaces and Their Applications*, w/appendix by Don B. Zagier, EMS, volume 141, Springer, 2004.
- [23] I G. Macdonald, Symmetric functions and Hall polynomials. *Oxford Mathematical Monographs*, The Clarendon Press, Oxford University Press, Second edition, 1995. With contributions by A. Zelevinsky, Oxford Science Publications.
- [24] T. Miwa, M. Jimbo, and E. Date. Solitons: Differential equations, symmetries and infinite dimensional algebras, Cambridge University Press, 2000, in: Cambridge Tracts in Mathematics, V. 135.

- [25] S.M. Natanzon, Moduli of real algebraic surfaces, and their superanalogues. Differentials, spinors, and Jacobians of real curves. *Russ. Math. Surv.*, vol. 54 (1999), no. 6, p. 1091–1147.
- [26] S. M. Natanzon and A. Yu. Orlov, BKP and projective Hurwitz numbers, *Lett. Math. Phys.* 107 (2017), no. 6, 1065–1109. MR 3647081
- [27] A. Okounkov. Toda equations for Hurwitz numbers, *Math. Res. Letters* 7 (2000), pp. 447–453.
- [28] M. Romagny, S. Wewers, Hurwitz spaces, *Séminaires et Congrès*, vol. 13 (2006), pp. 313–341.
- [29] M. Sato and Y. Sato. Soliton equations as dynamical systems on infinite-dimensional Grassmann manifold, in: North-Holland Math. Stud. U.S.-Japan seminar on nonlinear partial differential equations in applied science (Tokyo, July 1982). Vol. 81. Lecture Notes Numer. Appl. Anal. 5. 1983, pp. 259–271.
- [30] E. Witten, Two-dimensional gravity and intersection theory on moduli space, *Surveys in differential geometry* (Cambridge, MA, 1990), vol. 1, Bethlehem, PA: Lehigh Univ., pp. 243–310,